

e-mail: <u>Laboratorium@networks.pl</u>



AB 419

S P R A W O Z D A N I E 9301/2022/OS Z POMIARÓW PÓL ELEKTROMAGNETYCZNYCH WYKONANYCH DLA POTRZEB OCHRONY ŚRODOWISKA

Badany obiekt: Instalacja radiokomunikacyjna T-Mobile Polska S.A.

Numer i nazwa: 46023 (76023N!) PWR_WROCLAW_OLESKA

Adres: WROCŁAW, OLESKA 7/17 Powiat m. Wrocław, WOJ. DOLNOŚLĄSKIE

Data wykonania pomiarów: 2023-01-23

Sprawozdanie z badań bez pisemnej zgody laboratorium nie może być powielane inaczej niż w całości. Wynik przedstawione w niniejszym sprawozdaniu odnoszą się wyłącznie do badanego obiektu i do warunków i konfiguracji urządzeń w dniu wykonywania pomiarów.

Formularz F-13 Wydanie 26 Sprawozdanie: Ochrona środowiska Obowiązuje od dnia 14-06-2022 Strona/Stron: 1/9

1. Właściciel badanego obiektu:

T-Mobile Polska S.A., ul. Marynarska 12, 02-674 Warszawa

2. Zleceniodawca:

T-Mobile Polska S.A., ul. Marynarska 12, 02-674 Warszawa

3. Przedstawiciel zleceniodawcy:

NetWorkS! Sp.z o.o.

4. Zakres zlecenia:

Wykonanie badania i opracowanie sprawozdania z pomiarów natężenia pola elektrycznego i pola magnetycznego dla instalacji radiokomunikacyjnej T-Mobile Polska S.A. zlokalizowanej w miejscowości WROCŁAW, OLESKA 7/17.

5. Cel zlecenia:

Wykonanie pomiarów pól elektomagnetycznych w otoczeniu instalacji radiokomunikacyjnej 46023 (76023N!) PWR_WROCLAW_OLESKA w odniesieniu do wymagań określonych w Rozporządzeniu Ministra Klimatu z dnia 17 lutego 2020 r. w sprawie sposobów sprawdzania dotrzymania dopuszczalnych poziomów pól elektromagnetycznych w środowisku (Dz. U. 2020, poz. 258 z późn. zm. w Dz.U. 2022 poz. 1121).

6. Pomiary zostały wykonane przez:

Ciesielski Daniel Grzegorzewski Jan

7. Informacje o źródłach pól elektromagnetycznych

7.1. Sposób identyfikacji badanych źródeł pól elektromagnetycznych

Identyfikacji źródeł i parametrów technicznych dokonano na podstawie analizy dokumentacji dotyczącej zlecenia oraz obserwacji miejsca wykonywania badań.

7.2. Opis miejsca zainstalowania anten i urządzeń technicznych. Opis obiektu badań i jego otoczenia

Instalacja radiokomunikacyjna zlokalizowana jest na dachu. Anteny zawieszono na masztach usytowanych na dachu budynku. Urządzenia sterujące oraz zasilające zainstalowano w szafie outdoor na dachu budynku. Wokół instalacji znajduje się miasto.

Instalacja radiokomunikacyjna jest obiektem bezobsługowym. Okresowe stanowiska pracy związane są z prowadzonymi w zależności od potrzeb konserwacjami, przeglądami, strojeniem i naprawami.

Sprawozdanie z badań bez pisemnej zgody laboratorium nie może być powielane inaczej niż w całości. Wynik przedstawione w niniejszym sprawozdaniu odnoszą się wyłącznie do badanego obiektu i do warunków i konfiguracji urządzeń w dniu wykonywania pomiarów.

7.3. Parametry techniczne źródła pola elektromagnetycznego

Dane przedstawiające maksymalne parametry pracy instalacji przekazane przez zleceniodawce:

Parametry systemu nadawczo-odbiorczego:

	Charakterystyka promieniowa			kierunkowa						
	Rzeczywisty czas pracy [h/dobę]			24						
	Warunki pracy			znamionowe						
	Rodzaj wytwarzanego pola					stacjor	arne			
Lp.	Częstotliwość lub zakresy częstotliwości pracy [MHz]	, , , ,	oducent eny	liczba anten	Azymut [°]	kąt pochylenia* [°]	Wysokość środka elektrycznego anteny [m n.p.t]	Równoważna moc promieniowana izotropowo (EIRP) [W]		
1	800/900/1800/2100/2600		3R39v07 awei	1	82	5/5/4/4/4	36.3	18557		
2	800/900/1800/2100/2600	ASI4518R39v07 Huawei		1	210	5/5/5/5/5	36.3	9524		
3	800/900/1800/2100/2600		3R39v07 awei	1	310	7/7/7/7/7	36.3	9524		

^{*} wskazane wartości kąta pochylenia anten, zgodnie z informacją uzyskaną od zleceniodawcy, są wartościami stałymi

Parametry radiolinii:

	Parametry radiolinii:									
Char	akterystyka promi	ieniowania		kierunkowa						
Rzec	Rzeczywisty czas pracy [h/dobę]				24					
Waru	Warunki pracy					znamionowe	2			
Rodz	aj wytwarzanego	pola				stacjonarne				
	Linia radiowa					An	tena			
Lp.	Typ/ Producent	Częstotliwość pracy [GHz]	Równoważna moc promieniowana izotropowo (EIRP) [W]		Typ/ producent	Średnica anteny [m]	Azymut [°]	Wysokość zainstalowania n.p.t [m]		
1.	NEC iPasolink 200 Harris Stratex	32	12	159	VHLP1-32 Andrew	0.3	23	10		
2.	NEC iPasolink 200 Harris Stratex	38	1	.5	VHLP1-38 Andrew	0.3	69	10		
3.	NEC iPasolink 200 Harris Stratex	38	1	.5	VHLP1-38 Andrew	0.3	109	10		

7.4 Inne źródła pól elektromagnetycznych

Na podstawie informacji otrzymanych od użytkownika oraz obserwacji otoczenia miejsca wykonywania pomiarów stwierdzono występowanie innych źródeł pola-EM, pracujących w systemie: telefonii komórkowej (800MHz-2600MHz),linii radiowych (5GHz – 90GHz), które istotnie wpływają na wyniki pomiarów.

8. Opis pomiarów

8.1. Metoda badań

Zgodna z rozporządzeniem Ministra Klimatu z dnia 17 lutego 2020 r. w sprawie sposobów sprawdzania dotrzymania dopuszczalnych poziomów pól elektromagnetycznych w środowisku (Dz. U. 2020, poz. 258 z późn. zm. w Dz.U. 2022 poz. 1121), określona w pkt 25 ppkt 1 załącznika do niniejszego rozporządzenia.

Zgodnie z art. 122a ust. 1b ustawy Prawo Ochrony Środowiska, w przypadku wprowadzenia na części albo całym terytorium Rzeczypospolitej Polskiej stanu nadzwyczajnego, o którym mowa Sprawozdanie z badań bez pisemnej zgody laboratorium nie może być powielane inaczej niż w całości.

Wynik przedstawione w niniejszym sprawozdaniu odnoszą się wyłącznie do badanego obiektu i do warunków i konfiguracji urządzeń w dniu wykonywania pomiarów.

w art. 228 ust. 1 Konstytucji Rzeczypospolitej Polskiej z dnia 2 kwietnia 1997 r. (Dz. U. poz. 483, z 2001 r. poz. 319, z 2006 r. poz. 1471 oraz z 2009 r. poz. 946), lub stanu zagrożenia epidemicznego lub stanu epidemii, o których mowa w art. 46 ustawy z dnia 5 grudnia 2008 r. o zapobieganiu oraz zwalczaniu zakażeń i chorób zakaźnych u ludzi (Dz. U. z 2019 r. poz. 1239, z późn. zm.8)), pomiarów , nie przeprowadza się w lokalach mieszkalnych oraz w lokalach użytkowych zlokalizowanych na terytorium objętym stanem nadzwyczajnym, stanem zagrożenia epidemicznego lub stanem epidemii.

W związku z obecnie obowiązującym stanem zagrożenia epidemicznego, pomiarów nie wykonano w lokalach mieszkalnych oraz w lokalach użytkowych zlokalizowanych w obszarze pomiarowym przedmiotowej instalacji radiokomunikacyjnej.

8.2. Termin pomiarów i warunki środowiskowe

Podczas wykonywania pomiarów pól elektromagnetycznych nie występowały opady atmosferyczne. Wyniki pomiaru parametrów pogodowych przedstawia poniższa tabela:

Data	Godzina		Warunki śro	odowiskowe		
[rrrr-mm- dd]	[hh:mm-hh:mm]	Temperatura [°C]		Wilgotność względna [%]		
2022 01 22	08:00-09:20	Przed pomiarem	Po pomiarach	Przed pomiarem	Po pomiarach	
2023-01-23	00:00-09:20	1.0	1.1	69.8	69.7	

Przedstawione wyżej warunki środowiskowe, występujące podczas wykonywania pomiarów pól elektromagnetycznych, są zgodne ze specyfikacją techniczną użytego zestawu pomiarowego.

8.3. Warunki pracy urządzeń nadawczych

Podczas pomiarów w przypadku uzyskania wyniku pomiaru szerokopasmowego wykonanego zastosowaną metodą, dla zakresów częstotliwości od 10 MHz do 300 GHz, powiększonego o rozszerzoną niepewność pomiaru U dla współczynnika rozszerzenia k = 2 <u>przekraczającego</u> 70% najniższej dopuszczalnej wartości składowej elektrycznej lub magnetycznej pola dla objętych pomiarami zakresów częstotliwości, uwzględnia się poprawki pomiarowe przekazane przez zleceniodawce, umożliwiające uwzględnienie maksymalnych parametrów pracy instalacji zgodnie z pkt 7 załącznika do Rozporządzeniem Ministra Klimatu z dnia 17 lutego 2020 r. w sposobów sprawdzania dotrzymania dopuszczalnych elektromagnetycznych w środowisku (Dz. U. 2020, poz. 258 z późn. zm. w Dz.U. 2022 poz. 1121) zaznaczając, że wymagane jest wykonanie pomiaru z wykorzystaniem miernika selektywnego. W przypadku uzyskania wyniku pomiaru szerokopasmowego wykonanego zastosowana metodą, dla zakresów częstotliwości od 10 MHz do 300 GHz, powiększonego o rozszerzoną niepewność pomiaru U dla współczynnika rozszerzenia k = 2 <u>nieprzekraczającego</u> 70% najniższej dopuszczalnej wartości składowej elektrycznej lub magnetycznej pola dla objętych pomiarami zakresów częstotliwości, nie uwzględnia się poprawek pomiarowych.

8.4. Wyposażenie pomiarowe

Zestaw pomiarowy służący do pomiaru natężenia składowej elektrycznej pola elektromagnetycznego złożony z szerokopasmowego miernika i sondy pomiarowej:

Oznaczeni e miernika	Producent	Model	Numer fabryczny	Oznaczeni e sondy	Producent	Model	Numer fabryczny
MW-04	Wavecontr ol	Miernik pól elektromagnetyczny ch SMP2	22SN195 3	SW-07	Wavecontr ol	Sonda WPF6 0	22WP23019 3

Mierniki natężenia pola elektromagnetycznego podlegają okresowemu sprawdzeniu zgodnie z procedurą wewnętrzną P-03 i PB-01. Świadectwo wzorcowania zestawu pomiarowego z dnia 10 czerwca 2022 o numerze LWiMP/W/155/22 wydane przez Politechnika Wrocławska.

. Data ważności świadectwa wzorcowania: 10 czerwca 2024 (zgodnie z procedurą wewnętrzną P-03).

Termohigrometr:

Data ważności świadectwa wzorcowania: 17 grudnia 2023 (zgodnie z procedurą wewnętrzną P-03).

Sprawozdanie z badań bez pisemnej zgody laboratorium nie może być powielane inaczej niż w całości. Wynik przedstawione w niniejszym sprawozdaniu odnoszą się wyłącznie do badanego obiektu i do warunków i konfiguracji urządzeń w dniu wykonywania pomiarów.

Dalmierz:

Oznacz	enie Pi	Producent	Тур	Numer seryjny	Nr świadectwa wzorcowania	Data świadectwa wzorcowania
D-1	0	Leica	Dalmierz Leica Disto D510	1042956690	4609.13-M11-4180- 1748/14	9 stycznia 2015

Data ważności świadectwa wzorcowania: 9 stycznia 2025 (zgodnie z procedurą wewnętrzną P-03).

9. Wyniki pomiarów

Pole elektryczne

	ole elektryczne					
Nr pionu	Opis umiejscowienia pionu (punktu) pomiarowego	Wysokość pomiaru [m]	Zmierzona wartość natężenia pola elektrycznego E [V/m] ^{1,5}	Wartość natężenia pola elektrycznego powiększona o niepewność pomiaru ⁴ E [V/m]	Wskaźnikowa wartość poziomu emisji pól elektromagnetycznych WM _E ³	Współrzędne geograficzne pionu (punktu) pomiarowego ²
1	GKP w odległości 15m od anteny radioliniowej az. 23°	2.0	1.5	2.4	0.09	51°9'35.3" 17°8'7.1"
2	GKP w odległości 43m od anteny radioliniowej az. 23°	2.0	1.4	2.2	0.08	51°9'36.0" 17°8'7.4"
3	GKP w odległości 73m od anteny radioliniowej az. 23°	0.3-2.0	<1.0*	1.6	0.06	51°9'36.7" 17°8'8.2"
4	GKP w odległości 16m od anteny radioliniowej az. 69°	2.0	1.6	2.6	0.09	51°9'34.9" 17°8'7.8"
5	GKP w odległości 48m od anteny radioliniowej az. 69°	2.0	1.5	2.4	0.09	51°9'35.3" 17°8'9.6"
6	GKP w odległości 79m od anteny radioliniowej az. 69°	0.3-2.0	<1.0*	1.6	0.06	51°9'35.6" 17°8'11.0"
7	GKP w odległości 30m od anteny sektorowej az. 82°	2.0	1.7	2.7	0.1	51°9'34.6" 17°8'8.9"
8	GKP w odległości 59m od anteny sektorowej az. 82°	2.0	1.5	2.4	0.09	51°9'34.9" 17°8'10.3"
9	GKP w odległości 99m od anteny sektorowej az. 82°	0.3-2.0	<1.0*	1.6	0.06	51°9'34.9" 17°8'12.1"
10	GKP w odległości 168m od anteny sektorowej az. 82°	0.3-2.0	<1.0*	1.6	0.06	51°9'35.3" 17°8'15.7"
-	GKP w odległości 298m od anteny sektorowej az. 82°	0.3-2.0	<1.0*	1.6	0.06	51°9'36.0" 17°8'22.6"
12	GKP w odległości 14m od anteny radioliniowej az. 109°	0.3-2.0	<1.0*	1.6	0.06	51°9'33.8" 17°8'9.6"
13	GKP w odległości 37m od anteny radioliniowej az. 109°	0.3-2.0	<1.0*	1.6	0.06	51°9'33.5" 17°8'10.7"
14	GKP w odległości 81m od anteny radioliniowej az. 109°	0.3-2.0	<1.0*	1.6	0.06	51°9'33.1" 17°8'12.8"
15	PPP w odległości 33m od anteny sektorowej az. 210°	0.3-2.0	<1.0*	1.6	0.06	51°9'33.5" 17°8'8.2"
16	GKP w odległości 20m od anteny sektorowej az. 210°	2.0	1.7	2.7	0.1	51°9'33.8" 17°8'6.7"
17	GKP w odległości 50m od anteny sektorowej az. 210°	2.0	1.5	2.4	0.09	51°9'33.1" 17°8'5.6"
18	GKP w odległości 84m od anteny sektorowej az. 210°	0.3-2.0	<1.0*	1.6	0.06	51°9'32.0" 17°8'4.9"
19	GKP w odległości 149m od anteny sektorowej az.	0.3-2.0	<1.0*	1.6	0.06	51°9'30.2" 17°8'3.1"

Sprawozdanie z badań bez pisemnej zgody laboratorium nie może być powielane inaczej niż w całości. Wynik przedstawione w niniejszym sprawozdaniu odnoszą się wyłącznie do badanego obiektu i do warunków i konfiguracji urządzeń w dniu wykonywania pomiarów.

Formularz F-13 Wydanie nr 26 Sprawozdanie: Ochrona środowiska Obowiązuje od dnia 14-06-2022 Strona/Stron: 5/9

	210°					
20	GKP w odległości 223m od anteny sektorowej az. 210°	0.3-2.0	<1.0*	1.6	0.06	51°9'28.1" 17°8'1.3"
21	GKP w odległości 20m od anteny sektorowej az. 310°	2.0	1.6	2.6	0.09	51°9'34.9" 17°8'6.0"
22	GKP w odległości 53m od anteny sektorowej az. 310°	2.0	1.6	2.6	0.09	51°9'35.6" 17°8'4.6"
23	GKP w odległości 101m od anteny sektorowej az. 310°	0.3-2.0	<1.0*	1.6	0.06	51°9'36.7" 17°8'2.8"
24	GKP w odległości 137m od anteny sektorowej az. 310°	0.3-2.0	<1.0*	1.6	0.06	51°9'37.4" 17°8'1.3"
25	GKP w odległości 237m od anteny sektorowej az. 310°	0.3-2.0	<1.0*	1.6	0.06	51°9'39.6" 17°7'57.4"
26	DPP w witrynie okna piekarni Herkt w odległości 82m od anteny sektorowej az. 310°	2.0	1.7	2.7	0.1	51°9'36.0" 17°8'3.1"
27	DPP w witrynie okna sklepu warzywniczego w odległości 84m od anteny sektorowej az. 310°	2.0	1.4	2.2	0.08	51°9'35.3" 17°8'2.4"
28	PPP w odległości 62m od anteny radioliniowej az. 69°	0.3-2.0	<1.0*	1.6	0.06	51°9'36.0" 17°8'9.6"
29	PPP w odległości 60m od anteny sektorowej az. 210°	0.3-2.0	<1.0*	1.6	0.06	51°9'33.8" 17°8'4.2"
30	DPP w witrynie okna na ostatnim piętrze bloku mieszkalnego przy ul. Oleskiej 17 w odległości 19m od anteny radioliniowej az. 109°	2.0	1.6	2.6	0.09	51°9'34.2" 17°8'9.6"
31	PPP w witrynie okna na ostatnim piętrze bloku mieszkalnego przy ul. Olawskiej 9 w odległości 37m od anteny sektorowej az. 310°	2.0	1.7	2.7	0.1	51°9'34.9" 17°8'4.9"

Pole magnetyczne (wyznaczone na podstawie pomiaru wartości natężenia pola elektrycznego)

Nr pionu	Opis umiejscowienia pionu (punktu) pomiarowego	Wysokość pomiaru [m]	Wartość natężenia pola magnetycznego H [A/m] ¹	Wartość natężenia pola magnetycznego powiększona o niepewność pomiaru ⁴ H [A/m]	Wskaźnikowa wartość poziomu emisji pól elektromagnetycznych WM _H ³	Współrzędne geograficzne pionu (punktu) pomiarowego ²
1	GKP w odległości 15m od anteny radioliniowej az. 23°	2.0	0.004	0.006	0.09	51°9'35.3" 17°8'7.1"
2	GKP w odległości 43m od anteny radioliniowej az. 23°	2.0	0.004	0.006	0.08	51°9'36.0" 17°8'7.4"
3	GKP w odległości 73m od anteny radioliniowej az. 23°	0.3-2.0	<0.003*	0.004	0.06	51°9'36.7" 17°8'8.2"
4	GKP w odległości 16m od anteny radioliniowej az. 69°	2.0	0.004	0.007	0.09	51°9'34.9" 17°8'7.8"
5	GKP w odległości 48m od anteny radioliniowej az. 69°	2.0	0.004	0.006	0.09	51°9'35.3" 17°8'9.6"
6	GKP w odległości 79m od anteny radioliniowej az. 69°	0.3-2.0	<0.003*	0.004	0.06	51°9'35.6" 17°8'11.0"
7	GKP w odległości 30m od	2.0	0.005	0.007	0.1	51°9'34.6"

Sprawozdanie z badań bez pisemnej zgody laboratorium nie może być powielane inaczej niż w całości. Wynik przedstawione w niniejszym sprawozdaniu odnoszą się wyłącznie do badanego obiektu i do warunków i konfiguracji urządzeń w dniu wykonywania pomiarów.

	anteny sektorowej az. 82°					17°8'8.9"
8	GKP w odległości 59m od anteny sektorowej az. 82°	2.0	0.004	0.006	0.09	51°9'34.9" 17°8'10.3"
9	GKP w odległości 99m od anteny sektorowej az. 82°	0.3-2.0	<0.003*	0.004	0.06	51°9'34.9" 17°8'12.1"
10	GKP w odległości 168m od anteny sektorowej az. 82°	0.3-2.0	<0.003*	0.004	0.06	51°9'35.3" 17°8'15.7"
-	GKP w odległości 298m od anteny sektorowej az. 82°	0.3-2.0	<0.003*	0.004	0.06	51°9'36.0" 17°8'22.6"
12	GKP w odległości 14m od anteny radioliniowej az. 109°	0.3-2.0	<0.003*	0.004	0.06	51°9'33.8" 17°8'9.6"
13	GKP w odległości 37m od anteny radioliniowej az. 109°	0.3-2.0	<0.003*	0.004	0.06	51°9'33.5" 17°8'10.7"
14	GKP w odległości 81m od anteny radioliniowej az. 109°	0.3-2.0	<0.003*	0.004	0.06	51°9'33.1" 17°8'12.8"
15	PPP w odległości 33m od anteny sektorowej az. 210°	0.3-2.0	<0.003*	0.004	0.06	51°9'33.5" 17°8'8.2"
16	GKP w odległości 20m od anteny sektorowej az. 210°	2.0	0.005	0.007	0.1	51°9'33.8" 17°8'6.7"
17	GKP w odległości 50m od anteny sektorowej az. 210°	2.0	0.004	0.006	0.09	51°9'33.1" 17°8'5.6"
18	GKP w odległości 84m od anteny sektorowej az. 210°	0.3-2.0	<0.003*	0.004	0.06	51°9'32.0" 17°8'4.9"
19	GKP w odległości 149m od anteny sektorowej az. 210°	0.3-2.0	<0.003*	0.004	0.06	51°9'30.2" 17°8'3.1"
20	GKP w odległości 223m od anteny sektorowej az. 210°	0.3-2.0	<0.003*	0.004	0.06	51°9'28.1" 17°8'1.3"
21	GKP w odległości 20m od anteny sektorowej az. 310°	2.0	0.004	0.007	0.09	51°9'34.9" 17°8'6.0"
22	GKP w odległości 53m od anteny sektorowej az. 310°	2.0	0.004	0.007	0.09	51°9'35.6" 17°8'4.6"
23	GKP w odległości 101m od anteny sektorowej az. 310°	0.3-2.0	<0.003*	0.004	0.06	51°9'36.7" 17°8'2.8"
24	GKP w odległości 137m od anteny sektorowej az. 310°	0.3-2.0	<0.003*	0.004	0.06	51°9'37.4" 17°8'1.3"
25	GKP w odległości 237m od anteny sektorowej az. 310°	0.3-2.0	<0.003*	0.004	0.06	51°9'39.6" 17°7'57.4"
26	DPP w witrynie okna piekarni Herkt w odległości 82m od anteny sektorowej az. 310°	2.0	0.005	0.007	0.1	51°9'36.0" 17°8'3.1"
27	DPP w witrynie okna sklepu warzywniczego w odległości 84m od anteny sektorowej az. 310°	2.0	0.004	0.006	0.08	51°9'35.3" 17°8'2.4"
28	PPP w odległości 62m od anteny radioliniowej az. 69°	0.3-2.0	<0.003*	0.004	0.06	51°9'36.0" 17°8'9.6"
29	PPP w odległości 60m od anteny sektorowej az. 210°	0.3-2.0	<0.003*	0.004	0.06	51°9'33.8" 17°8'4.2"
30	DPP w witrynie okna na ostatnim piętrze bloku mieszkalnego przy ul. Oleskiej 17 w odległości 19m od anteny radioliniowej az. 109°	2.0	0.004	0.007	0.09	51°9'34.2" 17°8'9.6"

Sprawozdanie z badań bez pisemnej zgody laboratorium nie może być powielane inaczej niż w całości. Wynik przedstawione w niniejszym sprawozdaniu odnoszą się wyłącznie do badanego obiektu i do warunków i konfiguracji urządzeń w dniu wykonywania pomiarów.

31	PPP w witrynie okna na ostatnim piętrze bloku mieszkalnego przy ul. Olawskiej 9 w odległości 37m od anteny sektorowej az. 310°	2.0	0.005	0.007	0.1	51°9'34.9" 17°8'4.9"
----	---	-----	-------	-------	-----	-------------------------

GKP – Główny Kierunek Pomiarowy

DPP - Dodatkowy Pion Pomiarowy

PPP – Pomocniczy Pion pomiarowy

Niepewność oszacowano zgodnie z dokumentem P-03 "Procedura nadzoru nad wyposażeniem" w postaci niepewności rozszerzonej wynikającej z niepewności standardowej pomnożonej przez współczynnik rozszerzenia k=2.

Całkowita szacowana niepewność rozszerzona składowej E wynosi odpowiednio: 59.6% dla częstotliwości do 40 GHz

Umiejscowienie pionów (punktów) pomiarowych przedstawiono w załączniku nr 2 do niniejszego sprawozdania.

10. Omówienie wyników pomiarów

W związku z tym, że żadna z wartości zmierzonych, udokumentowanych w tabelach w pkt. 9, uzyskanych w skutek zastosowania pomiaru szerokopasmowego, powiększonego o rozszerzoną niepewność pomiaru U dla współczynnika rozszerzenia k = 2 <u>nie przekroczyła</u> 70% najniższej dopuszczalnej wartości składowej elektrycznej lub magnetycznej pola dla objętych pomiarami zakresów częstotliwości, nie uwzględnia się poprawek pomiarowych.

W wyniku zastosowania sposobu sprawdzenia dotrzymania dopuszczalnych poziomów pól elektromagnetycznych w środowisku, zgodnie pkt 25 ppkt 1 Rozporządzenia Ministra Klimatu z dnia 17 lutego 2020 r. (Dz. U. 2020, poz. 258 z późn. zm. w Dz.U. 2022 poz. 1121), w związku z tym, że żadna z wartości wskaźnikowych, udokumentowanych w tabelach w pkt. 9 nie przekracza wartości 1, stwierdza się, że w miejscach, w których wykonano pomiary w otoczeniu instalacji radiokomunikacyjnej 46023 (76023N!) PWR_WROCLAW_OLESKA, dopuszczalne poziomy pól elektromagnetycznych w środowisku należy uznać za dotrzymane.

11. Podstawa prawna

- 1) Ustawa z dnia 27 kwietnia 2001 r. Prawo ochrony środowiska (t. j. Dz. U. z 2021 r., poz. 1973 z późn.zm.)
- 2) Rozporządzenie Ministra Zdrowia z dnia 17 grudnia 2019 r. w sprawie dopuszczalnych poziomów pól elektromagnetycznych w środowisku (Dz. U. 2019, poz. 2448)
- 3) Rozporządzenie Ministra Klimatu z dnia 17 lutego 2020 r. w sprawie sposobów sprawdzania dotrzymania dopuszczalnych poziomów pól elektromagnetycznych w środowisku (Dz. U. 2020, poz. 258 z późn. zm. w Dz.U. 2022 poz. 1121),
- 4) Akredytacja nr AB 419 wydana przez Polskie Centrum Akredytacji (wydanie 20, z dnia 10 czerwca 2022r.).

Sprawozdanie z badań bez pisemnej zgody laboratorium nie może być powielane inaczej niż w całości. Wynik przedstawione w niniejszym sprawozdaniu odnoszą się wyłącznie do badanego obiektu i do warunków i konfiguracji urządzeń w dniu wykonywania pomiarów.

Formularz F-13 Wydanie nr 26 Sprawozdanie: Ochrona środowiska Obowiązuje od dnia 14-06-2022

Strona/Stron: 8/9

¹ wyniki oznaczone * są wynikami poniżej czułości zestawu pomiarowego

² współrzędne geograficzne pozyskane metodą pomiaru bezpośredniego

 $^{^3}$ do wyznaczenia wartości wskaźnikowej WM_E i WM_H przyjęto na podstawie uzgodnień z klientem oraz rozpoznania źródeł, jako wartości dopuszczalne pola elektrycznego i magnetycznego odpowiednio 28 V/m i 0,073 A/m.

⁴ do wyznaczenia niepewności dla wyników poniżej czułości zestawu pomiarowego, przyjęto niepewność dla minimalnej wartości z zakresu pomiarowego.

⁵ maksymalna wartość chwilowa

12. Spis załączników

Załącznik 1. Lokalizacja obiektu badań

Załącznik 2. Usytuowanie pionów (punktów) pomiarowych

Załącznik 3. Dokumentacja fotograficzna obiektu badań

13. Data wydania i autoryzowania sprawozdania

Obliczenia i sprawozdanie wykonał:

Agnieszka

Signed by / Podpisano przez:

Harbacewicz Date / Data: 2023-01-31 08:45 Sprawozdanie autoryzował:



Signed by / Podpisano przez:

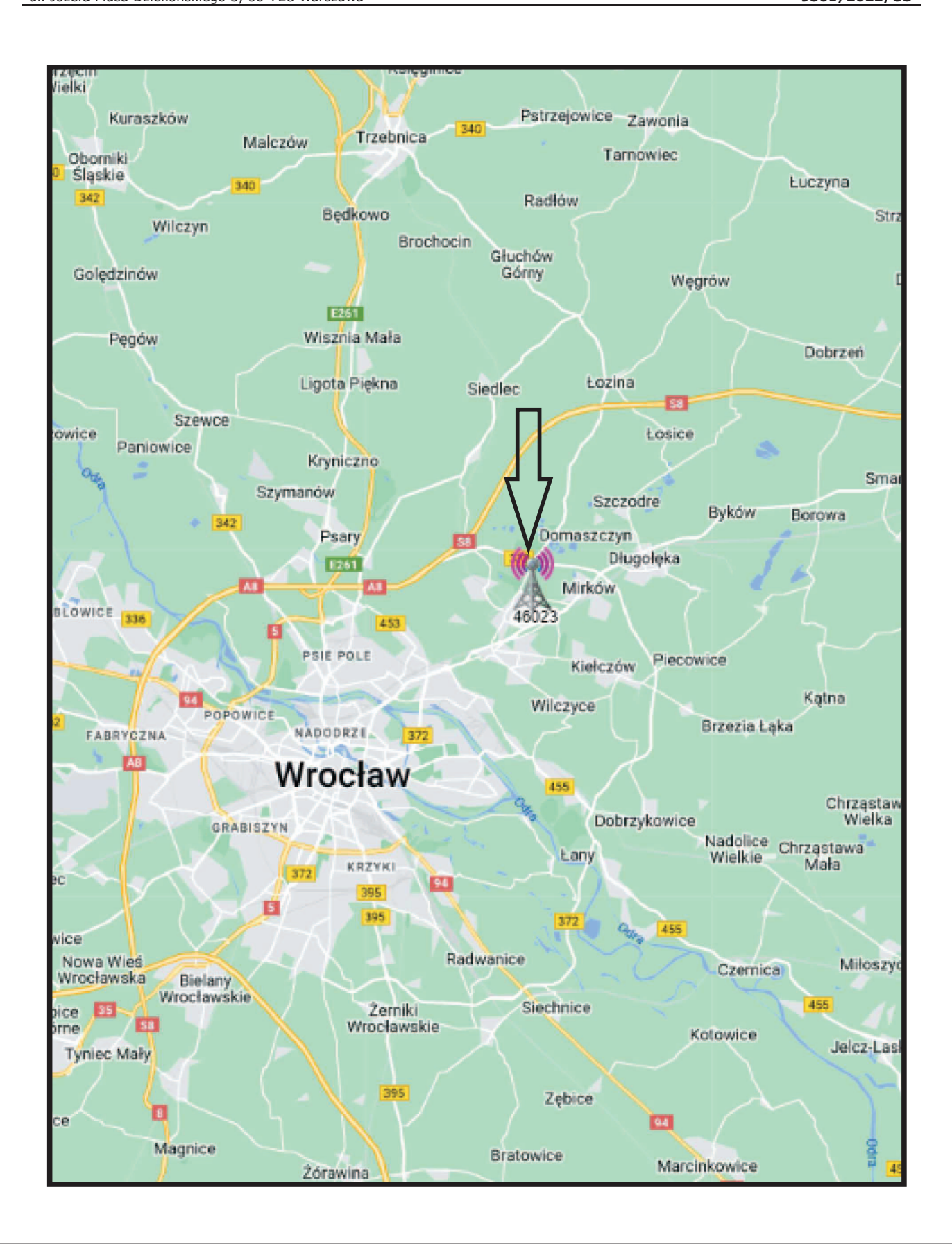
Agnieszka Wachowicz

Date / Data: 2023-02-01 14:09

Koniec sprawozdania

Sprawozdanie z badań bez pisemnej zgody laboratorium nie może być powielane inaczej niż w całości. Wynik przedstawione w niniejszym sprawozdaniu odnoszą się wyłącznie do badanego obiektu i do warunków i konfiguracji urządzeń w dniu wykonywania pomiarów.

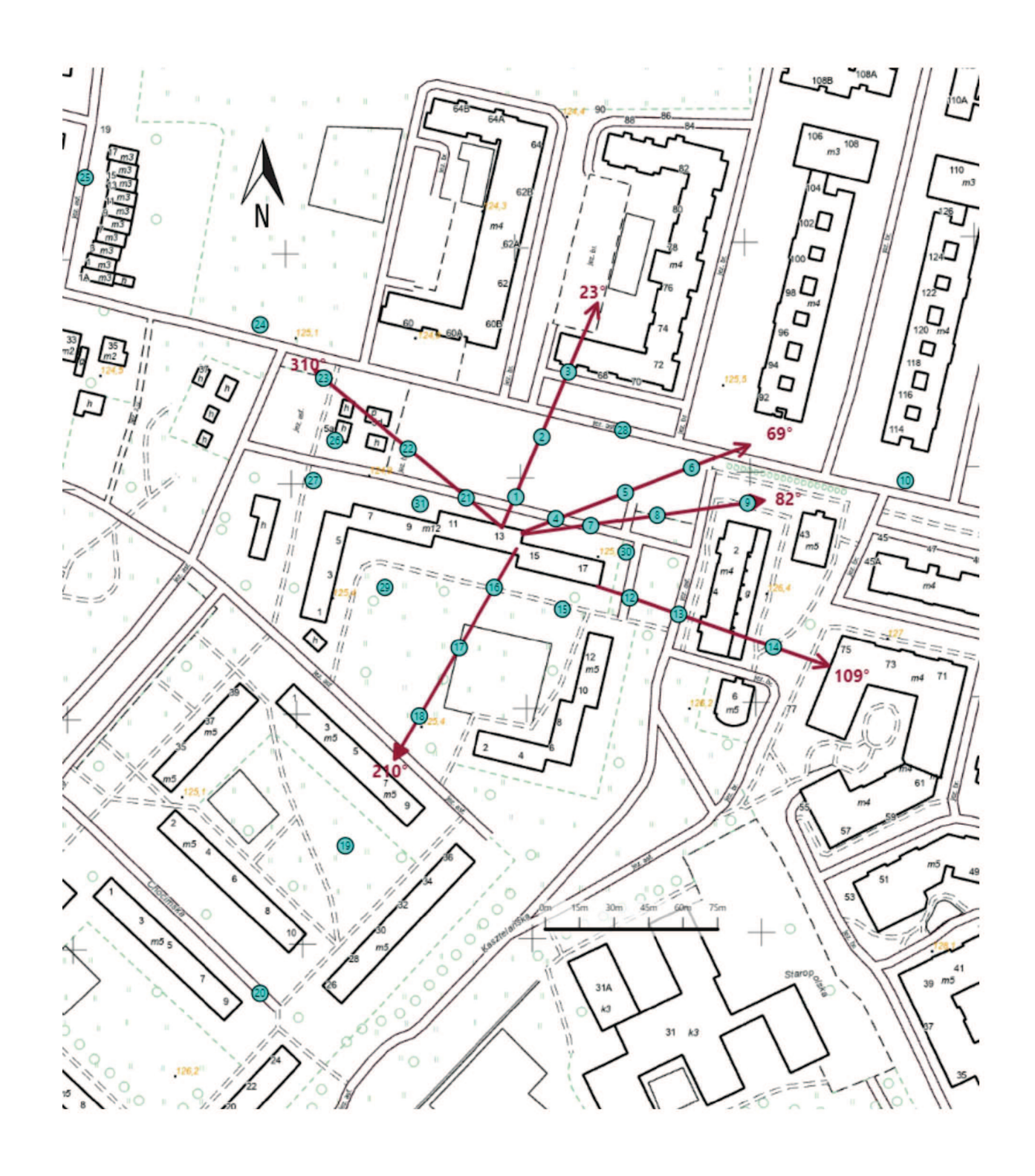
Formularz F-13 Wydanie nr 26 Sprawozdanie: Ochrona środowiska Obowiązuje od dnia 14-06-2022 Strona/Stron: 9/9



Załącznik nr 1

INSTALACJA RADIOKOMUNIKACYJNA T-Mobile Polska S.A. 46023 (76023N!) PWR_WROCLAW_OLESKA

Lokalizacja instalacji radiokomunikacyjnej



Załącznik nr 2	Instalacja radiokomunikacyjna T-Mobile Polska S.A. PWR_WROCLAW_OLESKA (76023N!) Usytuowanie pionów pomiarowych w otoczeniu instalacji radiokomunikacyjnej					
	Legenda: Washington Pion pomiarowy	Kierunek oddziaływania anten sektorowych	Kierunek oddziaływania anten radioliniowych			

Sprawozdanie: Ochrona środowiska



Załącznik nr 3

INSTALACJA RADIOKOMUNIKACYJNA T-Mobile Polska S.A. 46023 (76023N!) PWR_WROCLAW_OLESKA

Zdjęcia instalacji radiokomunikacyjnej